

## تأثير إشعاع الأمواج الميكروية ذات التردد 2100 ميجا赫يرتز على الغدة النكفية

\* أ.د. شريف بركات

\* ماهر العساف

(الإيداع: 7 آيار 2019 ، القبول: 30 حزيران 2019)

ملخص:

أُجري هذا البحث بهدف دراسة إمكانية حدوث تغيراتٍ مرضية في البنية النسيجية للغدة النكفية بعد تعريضها لإشعاع الأمواج الميكروية الصادرة عن الهاتف الجوال عن طريق دراسة تعبيريةٍ مُشعر الانقسام الخلوي البروتيني Ki67 وعامل النمو الوعائي البطاني البروتيني VEGF.

تألفت عينة البحث من (16) أربناً، مُقسّمةً بالتساوي إلى مجموعتين: شاهدة وتجريبية وفقاً للتعرض لأشعة الأمواج الميكروية، عُرِّضت المجموعة التجريبية لإشعاع الهاتف الجوال مدة ساعة واحدة يومياً، (6) أيام في الأسبوع، لمدة (6) أشهر. وبعد انقضاء فترة التعرض تمت التضحية بالأرانب واستئصال الغدة النكفية، وبالتالي تم الحصول على (16) خزعة نسيجية ملوّنة مناعياً بالضد وحيد النسيلة Ki67، و(16) خزعة نسيجية ملوّنة مناعياً بالضد وحيد النسيلة VEGF، واستُخدمت طريقة عد الخلايا الإيجابية في كل ساحةٍ نسيجية، ثم حساب النسبة المئوية لها من مجموع خلايا الساحة المدروسة عند التكبير العالي  $\times 400$ .

أبدت جميع العينات تعبيريةً إيجابيةً تجاه الملوّن Ki67 وتجاه الملوّن VEGF، مع زيادةٍ في هذه التعبيرية في المجموعة التجريبية، أي زيادة الفعالية الانقسامية في النسيج الغدي وزيادة نسبة استحداث الأوعية الدموية في الغدد النكفية كرد فعل للضرر الحاصل فيها نتيجة التعرض لإشعاع الهاتف الجوال.

**الكلمات المفتاحية:** الغدة النكفية، الهاتف الجوال، أشعة الأمواج الميكروية، مُشعر الانقسام الخلوي Ki67، عامل النمو الوعائي البطاني VEGF، الإجهاد التأكسدي.

\* طالب دراسات عليا (ماجستير) - قسم النسج والتشريح المرضي الفموي - كلية طب الأسنان - جامعة دمشق - سوريا.

\* أستاذ دكتور - قسم النسج والتشريح المرضي الفموي - كلية طب الأسنان - جامعة دمشق - سوريا.

## Influence of 2100 MHz Microwave Radiation on the Parotid gland

\*Maher al-Assaf

\*\* Dr. Sharif Barakat

(Received: 7 May 2019 , Accepted:30 June )

### Abstract:

The purpose of the research is to study the possibility of pathological changes in the histological structure of the parotid gland after exposure to microwave radiation emitted from mobile phone by studying the expression of Ki67 and VEGF.

the sample consisted of 16 rabbits divided equally according to exposure to microwave – radiation into two groups: control and experimental, where the experimental group was exposed to the mobile phone one hour daily – 6 days a week – for 6 months.

After the end of the exposure period, rabbits were sacrificed and parotidectomy was realized, and thus we obtained 16 tissue biopsies immunohistochemically stained with the monoclonal antibody Ki67 and monoclonal antibody VEGF, and the method of counting positive cells was used in each field of tissue and then calculated the percentage of them from the total cells of the field studied at high magnification  $\times 400$ .

All samples were positive for stained Ki67 and VEGF with increase in expression in the study group, i.e. increased proliferation activity in the glandular tissue and increased in vascular development respectively in the parotid glands as a reaction to the damage caused by exposure to the mobile phone.

**Key words:** parotid gland, mobile phone, microwave–radiation, cellular proliferation marker Ki67, vascular endothelial growth factor VEGF, oxidative stress.

\* Postgraduate Student, Department of Oral Histology and Pathology, Faculty of Dentistry, Damascus University, Syria.

\*\* Professor, Department of Oral Histology and Pathology, Faculty of Dentistry, Damascus University, Syria.

## -1 المقدمة:

ينتشر الإشعاع غير المؤين بشكّلٍ واسعٍ في بيئـة الإنسان المعاصر، ومن أهم مصادرـه أشـعة الأـمواج المـيكروـية التي تـصدر عنـ الـهـاتـفـ الجـوالـ والـذـيـ اـنـشـرـ استـخدـامـهـ فيـ السـنـوـاتـ الـأـخـيرـةـ بشـكـلـ كـبـيرـ، لـدرـجـةـ أنـ غالـيـةـ سـكـانـ العـالـمـ يـسـتـخـدـمـونـهـ .(Rosado, Nasta et al. 2014)

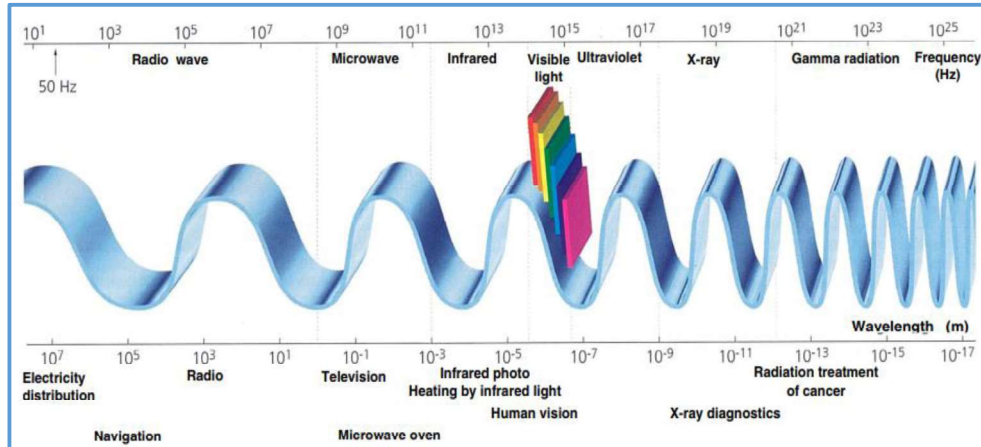
منذ سنـوـاتـ عـدـيـدةـ والـجـدلـ دـائـرـ حولـ مـخـاطـرـ الإـشـعـاعـاتـ الـتـيـ تـصـدـرـهاـ الـهـاتـفـ الجـوالـ، حيثـ لاـ يـزالـ الـبـاحـثـونـ مـخـتـفـينـ حتـىـ السـاعـةـ حـولـ خـطـورـةـ الدـورـ السـلـبـيـ الـذـيـ تـلـعـبـهـ تـلـكـ الإـشـعـاعـاتـ الـتـيـ تـدـخـلـ جـسـمـ إـلـاـنـسـانـ، ولـكـنـ الـأـمـرـ الـذـيـ يـقـقـ عـلـيـهـ جـمـيعـ الـعـلـمـاءـ هوـ وـجـودـ هـذـهـ الإـشـعـاعـاتـ، معـ اـخـتـلـافـ وـجـهـاتـ النـظـرـ حـولـ ماـ تـسـبـبـهـ مـشـاـكـلـ صـحـيـةـ .(Levis, Minicuci et al. 2011)

تصـفـ الحـقولـ الـكـهـرـوـمـغـناـطـيسـيـةـ الـتـيـ تـسـبـبـهاـ الـهـاتـفـ الـمـحـمـولـةـ منـ قـبـلـ الـوـكـالـةـ الـدـولـيـةـ لـبـحـوثـ السـرـطـانـ ضـمـنـ الفـةـ "2b"ـ أيـ أنهاـ قدـ تكونـ مـسـبـبـةـ لـلـسـرـطـانـ .(Di Ciaula 2018)

هـنـاكـ درـاسـاتـ جـارـيـةـ لـتـقيـيمـ الـأـثـارـ الصـحـيـةـ الـتـيـ يـحـتمـلـ أـنـ تـظـهـرـ عـلـىـ المـدىـ الـعـيـدـ جـرـاءـ اـسـتـخـدـامـ الـهـاتـفـ الـمـحـمـولـةـ، وـمـنـ الـأـهـمـيـةـ بـمـكـانـ، بـالـنـظـرـ إـلـىـ الـعـدـدـ الـكـبـيرـ لـمـسـتـخـدـميـ الـهـاتـفـ الـمـحـمـولـةـ، إـجـراءـ التـحـريـاتـ الـلـازـمـةـ بـشـأنـ تـلـكـ الـهـاتـفـ وـإـشـعـاعـاتـهاـ وـالـسـعـيـ إـلـىـ فـهـمـ وـرـصـدـ آـثـارـهـ الـمـحـتمـلـةـ عـلـىـ الصـحـةـ الـعـامـةـ .(Röösli, Frei et al. 2010)

وـمـنـ الـعـامـ 2000ـ صـدـرـتـ الـعـدـيدـ مـنـ الـدـرـاسـاتـ وـالـأـبـاحـاثـ حـولـ تـأـثـيرـ الـجـوالـ عـلـىـ الصـحـةـ الـعـامـةـ، وـخـاصـةـ فـيـماـ يـتـعـلـقـ بـالـتأـثـيرـاتـ الـمـسـرـطـنةـ عـلـىـ الـدـمـاغـ وـالـغـدـدـ الـلـاعـبـيـةـ وـالـعـصـبـ الـسـمـعـيـ وـأـوـرـامـ أـخـرىـ فـيـ الرـأـسـ وـالـعـنـقـ .(Organization 1998).

تقـعـ تـرـدـدـاتـ الـأـمـوـاجـ الـمـيـكـرـوـيـةـ فـيـ الـمـحـالـ (300 MHz – 300 GHz)ـ أيـ بـيـنـ مـجـالـيـ الـتـرـدـدـاتـ الـرـادـيوـيـةـ وـالـأـشـعـةـ تـحـتـ الـحـمـرـاءـ .(Johansen 2004)



الشكل رقم (1): توضـحـ الطـيفـ الـكـهـرـوـمـغـناـطـيسـيـ وـمـوـقـعـ الـأـمـوـاجـ الـمـيـكـرـوـيـةـ فـيـهـ .(Johansen 2004)

أشـعـةـ الـأـمـوـاجـ الـمـيـكـرـوـيـةـ غـيرـ مـؤـتـمـةـ، وـلـهـ آـثـارـ حـارـيـةـ تـتـمـثـلـ بـارـتـقـاعـ حـرـارـةـ النـسـجـ، بـالـنـظـرـ إـلـىـ الـتـرـدـدـاتـ الـتـيـ تـسـتـخـدـمـهاـ الـهـاتـفـ الـمـحـمـولـةـ يـتـمـ اـمـتـصـاصـ مـعـظـمـ الـطاـقـةـ مـنـ قـبـلـ الـجـلدـ وـالـنـسـجـ السـطـحـيـةـ الـأـخـرىـ، مـمـاـ يـؤـدـيـ إـلـىـ اـرـتـقـاعـ ضـئـيلـ جـداـ فـيـ درـجـةـ حـرـارـةـ الـدـمـاغـ، الـجـلدـ وـالـغـدـدـ الـنـكـفـيـةـ .(Allison 2013)

أـمـاـ بـالـنـسـبـةـ لـلـتـأـثـيرـاتـ غـيرـ الـحـارـيـةـ لـلـأـمـوـاجـ الـمـيـكـرـوـيـةـ عـلـىـ النـظـامـ الـحـيـويـ، فـقـدـ دـرـسـتـ خـالـلـ الـثـلـاثـيـنـ سـنـةـ الـمـاضـيـةـ وأـشـارـتـ بعضـ هـذـهـ الـدـرـاسـاتـ إـلـىـ:

- زيادة شدة الأكسدة (Djindjic, Radic et al. 2003).
- زيادة نفوذية غشاء الكريات الحمراء وزيادة انحلالها (Savopol, Moraru et al. 1995).
- التأثير على الحاجز الوعائي الدماغي: زيادة تدفق شوارد الكالسيوم (Paulraj and Behari 2002).
- زيادة النويات في الكريات البيض (Dabrowski, Stankiewicz et al. 2003).

وهناك الكثير من الدراسات التي مازالت مستمرة حتى الآن. ونظرًا لتوسيع الغدة النكفية أمام الأذن وتحت جلد الوجه مباشرةً فإنها تُعد من أكثر الأنسجة المعرضة لتأثير الإشعاع الصادر عن الهاتف الجوال (Sadetzki, Chetrit et al. 2007). وقد أظهرت بعض الدراسات ترافق سرطانات الغدة النكفية مع التعرض للإشعاع الصادر عن الهاتف الجوال (Sadetzki, Chetrit et al. 2007)، ولكن ما تزال هذه الدراسات غير كافية بسبب زمن التعرض القصير لفرد العادي لإشعاعات الهاتف الجوال (Söderqvist, Carlberg et al. 2012)، (Hardell, Hallquist et al. 2004).

#### التركيب النسيجي للغدة النكفية:

تصنف الغدد اللمفاوية حسب حجمها وكمية إفرازاتها إلى غدد لعابية كبيرة وصغيرة. ويكون كلا النوعين من الغدد من أنواع الخلايا نفسها (مصلية، مخاطية، أو كليهما)، والغدة النكفية هي الغدة الأكبر بين الغدد اللمفاوية، وتعطي 25% من كمية اللعاب المفرز. تقسم فروع العصب القحفى السابع (الوجهي) الغدة النكفية إلى فصوص سطحية وعميقه، وذلك بعد خروجه من الثقبة الإبرية الخشائية باتجاه عضلات الوجه التعبيرية.

تتوسيع هذه الغدة في الناحية الجانبية للوجه أمام الأذن. وتزن حوالي 25g، وهي محاطة بمحفظة ليفية ضامنة. تجتمع مجموعة من القنوات الصغيرة الواردة من مناطق مختلفة من الغدة عند سطحها الأمامي العلوي لتشكل القناة الرئيسية المفرغة للغدة النكفية والتي تُدعى "قناة ستتسون" وبلغ قطرها حوالي (1-3 ملم) وطولها (6 سم). كما تمتد "قناة ستتسون" على السطحخارجي للعضلة الماضغة، لتلتقي على حافتها الأمامية التكافأً حاداً، مروراً بالعضلة المبؤقة وتتفتح على التجويف الفموي من خلال مخاطية الفم الدهليزية في خلية مقابل الرحي الثانية العلوية. إفراز هذه الغدة هو إفراز مصلي صرف، عدا عند حدثي الولادة، حيث يحوي القليل من المخاط (Nanci 2017).

#### المُشعر الانقسامي: Ki67

يعتبر Ki67 بروتيناً كبيراً نسبياً يقيس حوالي 395kDa، ويرتبط مع عدّة بروتينات تشارك في تنظيم دورة الخلية. ويحدد مستوى تعبير هذا البروتين حالة الانقسام الخلوي (Li, Jiang et al. 2015), (Scholzen and Gerdes 2000). Ki67 هو بروتين نووي، يُعبر عنه خلال الطور البيني (G1 – S – G2) ضمن النواة، أمّا في طور الانقسام M فيكون على سطوح الصبغيات. في حين لا يوجد له تعبيرية خلال الطور G0، حيث يخترب هذا البروتين بشكلٍ سريع عند دخول الخلية في حالة عدم التكاثر (Scholzen and Gerdes 2000). يوجد هذا البروتين في جميع الخلايا المتكلثرة سواءً كانت طبيعية أو ورمية لذلك يُعتبر وجوده مُشرعاً مُمتازاً يشير إلى تكاثر الخلايا (Sobecki, Mrouj et al. 2016).

#### عامل النمو الوعائي البطاني: VEGF

عامل النمو البطاني الوعائي بروتين سكري رابط للهيبارين وزنه الجزيئي 45 كيلو دالتون. يُطلق عليه أيضاً اسم عامل نفوذية الأوعية الدموية وهو المُنظم الرئيسي لتوسيع الأوعية الدموية الفيزيولوجي والمرضي كما أنه مُحدث قوي للانقسام الفتيلي للخلايا البطانية للأوعية الدموية (Ferrara 2004).

يُعرَف التَّشُّوُّعُ الوعائي بأنَّه عملية استحداث أوعية دموية جديدة من أوعية دموية موجودة مسبقاً تَدْفَقُ دموياً كافياً وأكسجينًا كافياً للأنسجة النامية وَتُعَدُّ الخلايا البطانية للأوعية الدموية هي الخلايا الرئيسيَّة المُشاركة في هذه العملية (Rafiee, Heidemann et al. 2004).

ينتمي VEGF (والذي يُطلق عليه أيضًا VEGF-A) إلى عائلة الجينات التي تضم VEGF-B، الـ Growth Factor (PIGF) (VEGF-C)، VEGF-D، والـ VEGF-E، وتُشكِّل هذه العائلة الجينية دوراً فريداً في التَّحَكُّمِ بِنَمْوِ وَتَمَاثِيلِ الْعَدِيدِ مِنِ الْمَكَوَّنَاتِ التَّشْرِيجِيَّةِ لِلْجَهازِ الوعائيِّ (Ferrara 2004).

يُحدِثُ التَّشُّوُّعُ الوعائيَّ فِيزيولوجياً في حالاتٍ مثلِ الحملِ، تَطُورِ الأَعْضَاءِ، النَّمُوِ الطَّولِيِّ لِلْعَصَامِ وَشَفَاءِ الْجَرْوِيِّ أَمَّا اضطرابات التَّشُّوُّعِ فَتُشارِكُ في العَدِيدِ مِنِ الْأَمْرَاضِ مِثْلِ التَّسْرُطِ وَالْأَمْرَاضِ الْقَلْبِيَّةِ الوعائيةِ وَالْإِلْتَهَابِاتِ الْمُزَمِّنةِ (Fu, Li et al. 2017).

## 2- هدف البحث:

يهدف هذا البحث إلى:

دراسة تأثير أشعة الأمواج الميكروية على الفعالية الانقسامية للخلايا الغذية في الغدة النكفية، عن طريق دراسة مستويات البروتين Ki67 ، بالإضافة إلى دراسة تأثيرها على التَّشُّوُّعُ الوعائيِّ المُسْتَحْدَثُ في الغدة النكفية، عن طريق دراسة مستويات البروتين VEGF .

## 3- مواد البحث وطريقه:

تألَّفت عينة البحث من 16 غدة نكفية لدى 16 أرنبًا، حيث قسمت الأرانب إلى مجموعتين رئيسيتين متساويتين وفقاً لـ تعرُّض الأرانب للأمواج الميكروية: (ثمانية أرانب تعرَّضت للأمواج الميكروية، ثمانية أرانب لم تعرَّض للأمواج الميكروية).

### آلية التَّعَرُّضُ للأمواجِ الميكرويَّةِ:

لُوحِظَ وفق مراجعة الأدب الطبي اختلاف الآليات المطبقة في مثل هذه الدراسات التجريبية، حيث اختلفت هذه الدراسات في طريقة توليد الأمواج الميكروية:

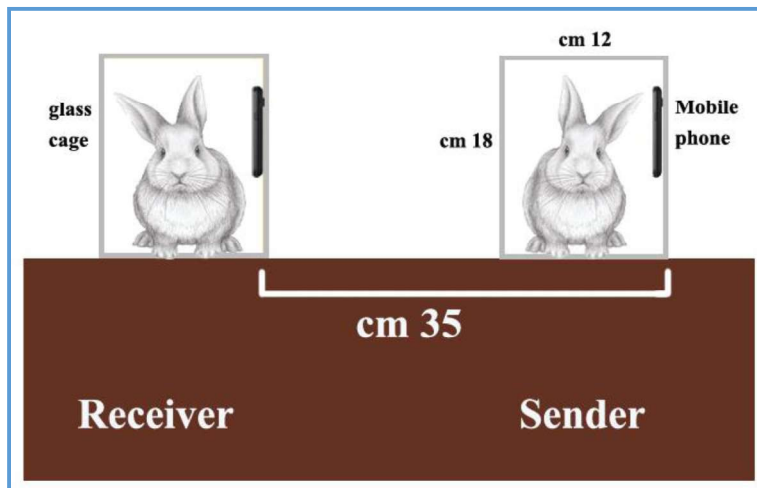
- إما عن طريق جهاز موَّد للأمواج الميكروية (Erdemli, Omeroglu et al. 2017).
- أو عن طريق جهاز تشويش يوضع بجانب أجهزة الجوال (Ghatei, Nabavi et al. 2017).
- أو عن طريق جهاز الهاتف الجوال مباشرةً (Kesari, Kumar et al. 2011)، بحيث تكون هذه الطريقة الأكثر محاكاةً للواقع، وهي الطريقة المستخدمة في هذا البحث.

استُخدِمتُ أجهزة جوال من طراز Samsung Galaxy J1 Mini Prime، وهو جهاز من الجيل الثالث (3G) يعمل في المجال الترددي 2100 ميغا هيرتز. وهي تُصدِّرُ المِزيدَ مِن الإشعاعات الميكروية عندما تعمل على تردد أعلى بالمقارنة مع

هواتف الجيل الثاني (2G) العاملة وفق تردد 900–1800 ميغا هيرتز. (Aydogan, Unlu et al. 2015). عُرِضَتُ الأرانب في المجموعة التجريبية إلى إشعاع أجهزة الجوال بمعدل ساعة يومياً، 6 أيام في الأسبوع، ولمدة 6 أشهر. (أنجزت الدراسة التجريبية في كلية طب الأسنان-جامعة دمشق في الفترة الممتدة من ٢٠١٨/١١/٧ حتى ٢٠١٨/١١/٦).

**شروط التعُرض:**

حفظت الأرانب المعرضة للأمواج الميكروية خلال أوقات التجارب في بيوت زجاجية (Aydoğan, Aydın et al. 2015) مجهزة بفتحات تهوية صُنعت خصيصاً لهذا البحث وفق مقاسٍ موحدٍ (طول: 30 سم، عرض: 12 سم، ارتفاع: 18 سم) يتناسب مع الحجم الوسطي للأرانب، بحيث لا تسمح بالحركة الدورانية، وقد تسمح بالقليل من الحركة الجانبية الخفيفة للرأس والحركة الأمامية الخلفية لجسم الأرنب (Kesari, Kumar et al. 2011).



الشكل رقم (2): تبيان بروتوكول تطبيق الأمواج الميكروية.

ولإلغاء التأثير الحراري للهاتف الجوال، كانت المسافة بين جهاز الجوال والوجه الجانبي لرأس الأرنب وسطيّاً 5 سم (Mortazavi, Owji et al. 2016)، والمسافة بين الجهازين 35 سم.



الشكل رقم (3): توضيح وضع الأرانب ضمن البيوت الزجاجية أثناء تعريضها للهواتف الجوال.

أجريت مكالمة هاتفيّة افتراضيّة بين الجهازين، أي مُرسِل ومستقِل، وعند بدء المكالمة كانت حيوانات التجربة تُوضع في البيوت الزجاجية، وبذلك تكون قد أجريت محاكاة قريبة من المكالمات الجارية بشكل يومي (Dogan, Turtay et al. 2012).

بعد انقضاء فترة التعريض تمت التضحية بحيوانات المجموعة التجريبية واستُخلصت الغدة النكفية من جانب واحد لكل أرنب، وهو الجانب الذي عُرِض للأمواج الميكروية الصادرة عن أجهزة الجوال السابقة الذكر. كما تمت التضحية بحيوانات المجموعة الشاهدة على فترات متتالية، وبذلك تم الحصول على 32 شريحة نسيجية مناعية مُقسّمة كما يلي:

16 شريحة نسيجية مناعية ملوّنة بالملون المناعي Ki67 (8 شرائح مناعية مجموعة شاهدة، 8 شرائح مناعية مجموعة تجريبية)، و16 شريحة نسيجية مناعية ملوّنة بالملون المناعي VEGF (8 شرائح مناعية مجموعة شاهدة، 8 شرائح مناعية مجموعة تجريبية).

#### التلوين المناعي:

يُثبت القالب الشمعي على المبشرة النسيجية ويقطع بسماكة 4 ميكرون، بعد القطع تُشخّن الشرائح في فرن حرارته 65 درجة مئوية لمدة ساعة، ثم تُوضع في الإكزيلول والإيتانول ثم محلول الداري. تُوضع السلاط الحاوية على الشرائح والمحلول المُظهر للمستضد في فرن الأمواج الميكروية بدرجة حرارة 125° ثم 90°، وترك الشرائح لتبرد في درجة حرارة الغرفة. تزال الشرائح وتُغسل بالمحلول الداري، ثم تُوضع في البيروكسيداز لمدة 5 دقائق، تُغسل الشرائح بعد ذلك بالمحلول الداري 3 مرات، ثم يتم وضع الصد الأولي (primary antibody) لمدة 45 دقيقة، حيث استُخدم الصد الأولي VEGF Rabbit monoclonal من شركة BioSB، والصد الأولي Rabbit Monoclonal Ki67 من شركة BioSB، ثم تُغسل 3 مرات بالمحلول الداري، ويُعطى النسيج بـ HRP لمدة 45 دقيقة، ثم يتم الغسل بالمحلول الداري، ويحصّر لا chromogen ويُطبق على النسيج لمدة 10 دقائق، بعدها تُغسل الشرائح بالماء المقطر 5 مرات، وتُلّون بالهيماتوكسيلين.

#### طريقة دراسة الشرائح النسيجية:

اختيرت 4 ساحات عشوائية لكل مصادر، واحتسبت قيمة وسطية لها، حيث استُخدمت طريقة عد الخلايا الإيجابية في كل ساحة نسيجية وحسبت النسبة المئوية لها من مجموع خلايا الساحة المدروسة عند التكبير العالمي ( $\times 400$ ) وفقاً للمعادلة التالية: النسبة المئوية للخلايا الملوّنة الإيجابية = عدد الخلايا الإيجابية ÷ عدد الخلايا الكلية  $\times 100$ .

#### الطرق الإحصائية:

استُخدم برنامج SPSS v.19 لتحليل البيانات، واستعين ببرنامج MS Excel 2010 لإنجاز الرسوم البيانية وبرنامج G. power لحساب حجم العينة، وأجري اختبار T ستويونت للعينات المستقلة لدراسة دلالة الفروق في متعدد مقدار نسبة إيجابية الخلايا بين مجموعة الأرانب التي تعرضت للأمواج الميكروية، ومجموعة الأرانب التي لم تتعرض للأمواج الميكروية في عينة البحث.

الجدول رقم (1): يبيّن توزيع عينة البحث وفقاً لتشريح الأرانب للأمواج الميكروية.

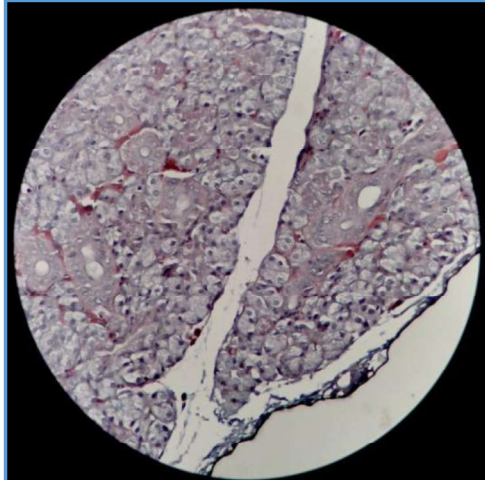
نسبة المئوية	عدد الأرانب	تشريح الأرانب للأمواج الميكروية
50.0	8	الأرانب التي تعرضت للأمواج الميكروية
50.0	8	الأرانب التي لم تتعرض للأمواج الميكروية
100	16	المجموع

الجدول رقم (2): يبين توزع الشرائح المناعية في عينة البحث وفقاً للملون المدروس وتعرض الأرانب للأمواج الميكروية.

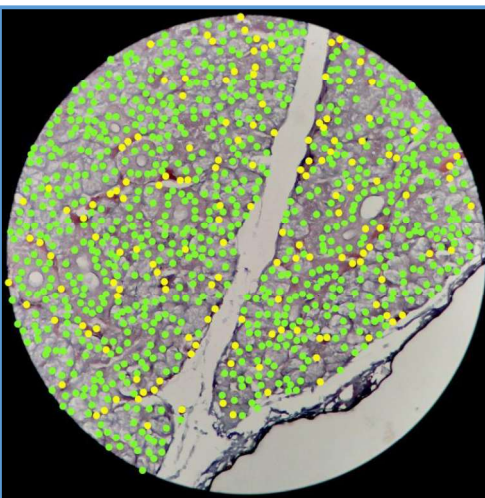
نسبة المئوية المجموع	عدد الشرائح المناعية			تعرض الأرانب للأمواج الميكروية		
	VEGF	Ki67	المجموع	VEGF	Ki67	
100	50.0	50.0	16	8	8	الأرانب التي تعرضت للأمواج الميكروية
100	50.0	50.0	16	8	8	الأرانب التي لم تتعرض للأمواج الميكروية
100	50.0	50.0	32	16	16	عينة البحث كاملة

#### -4 النتائج والمناقشة:

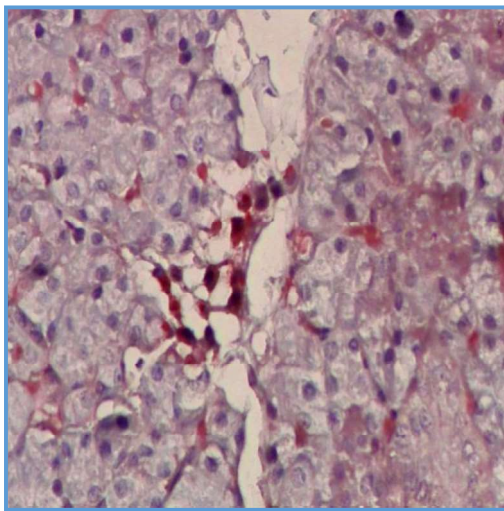
تم تحري تعابيرية مُشرّع الانقسام الخلوي Ki67 في الغدد النكفية لكلٍ من المجموعة الشاهدة والتجريبية، وقد لوحظ تفاوت تعابيريته بين الخلايا الغذائية البرانشيمية، ولكن أبدت جميع العينات إيجابيةً تجاه الملون في كلا المجموعتين (شاهد، تجريبية) كما في الصور النسيجية التالية:



الشكل رقم (4): توضح تعابيرية متوسطة للملون Ki67 في ساحة نسيجية تحت تكبير × 400 (عينة تجربة).

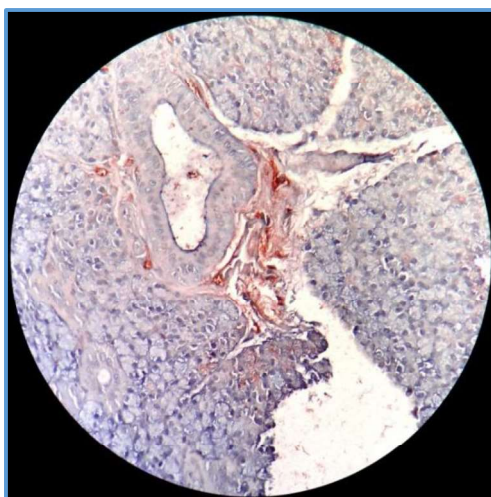


الشكل رقم (5): تبين طريقة عد الخلايا الإيجابية والسلبية في ساحة نسيجية معينة تحت تكبير × 400 (عينة تجربة).



الشكل رقم (6): تبين تعبيرية متوسطة للملون Ki67 في ساحةٍ نسيجيةٍ مكثرة لتوسيع الخلايا المتلونة (عينة تجربة).

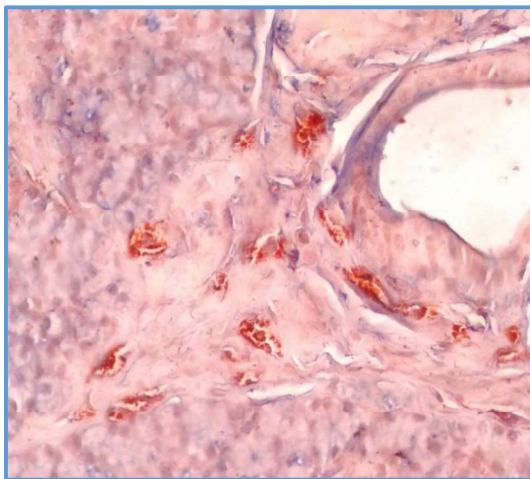
تم تحري تعبيرية مُشعر عامل النمو الوعائي البطاني في الغدد النكفية لكلٍ من المجموعة الشاهدة والمجموعة التجريبية، وقد لُوِّحَتْ تفاوتٌ تعبيرته في الحجب الضامنة بين الخلايا الغدية البرانشيمية، ولكن أبدت جميع العينات إيجابيًّا تجاه الملون في كلا المجموعتين (شاهد، تجريبية) كما في الصور النسيجية التالية:



الشكل رقم (7): توضح تعبيرية متوسطة للملون VEGF في ساحةٍ نسيجيةٍ تحت تكبير  $\times 400$  (عينة تجربة).



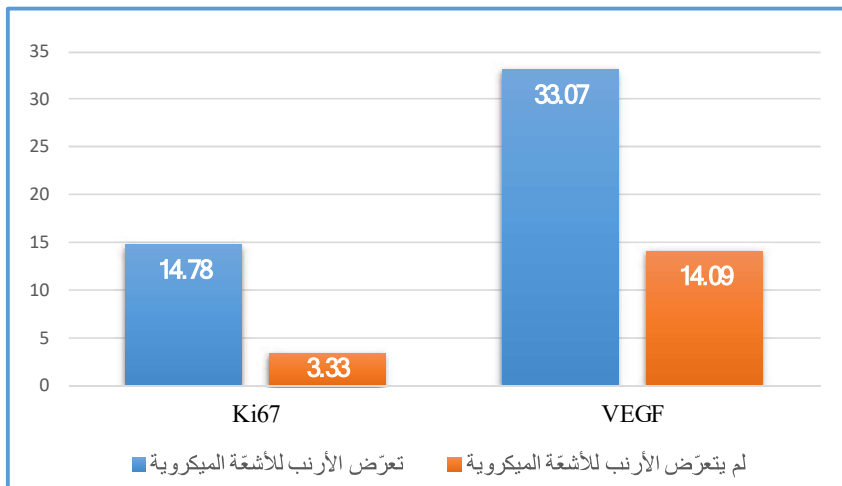
الشكل رقم (8): تبين طريقة عد الخلايا الإيجابية والسلبية في ساحةٍ نسيجيةٍ معينة تحت تكبير  $\times 400$  (عينة تجربة).



الشكل رقم (9) : تبيان تعبيرية متوسطة للملون VEGF في ساحة نسيجية مكثرة لتوضيح الخلايا المتلونة (عينة تجربة).

ويوضح الجدول التالي الإحصاءات الوصفية المتعلقة بالملوّنين VEGF و Ki67 .  
الجدول رقم (3) : يبيّن المتوسط الحسابي والانحراف المعياري والخطأ المعياري والحد الأدنى والحد الأعلى لنسبة إيجابية البروتين المدرّوس في عينة البحث وفقاً لتعريض الأرانب للأمواج الميكروية.

الحد الأعلى	الحد الأدنى	الخطأ المعياري	الانحراف المعياري	المتوسط الحسابي	عدد الشرائح النسيجية	تعريض الأرانب للأشعة الميكروية	الملون المدرّوس
20.6	9.8	1.22	3.45	14.78	8	تعريض الأرانب للأشعة الميكروية	Ki67
5.9	1.9	0.52	1.48	3.33	8	لم يتعرّض الأرانب للأشعة الميكروية	
40.2	25.1	1.95	5.50	33.07	8	تعريض الأرانب للأشعة الميكروية	
18.3	10.6	0.97	2.75	14.09	8	لم يتعرّض الأرانب للأشعة الميكروية	VEGF



المخطط رقم (2) : يبيّن المتوسط الحسابي لنسبة إيجابية الخلايا في عينة البحث وفقاً لتعريض الأرانب للأشعة الميكروية والملون المدرّوس .

ولدراسة الفروق في تعبيرية الملؤنين Ki67 و VEGF بين المجموعة الشاهدة والمجموعة التجريبية في الغدة النكفية أجري اختبار T ستيدونت للعينات المستقلة:

الجدول رقم (4): يبين نتائج اختبار T ستيدونت للعينات المستقلة لدراسة دلالة الفروق في متوسط نسبة إيجابية البروتين المدروس بين مجموعة الأرانب التي تعرضت للأمواج الميكروية ومجموعة الأرانب التي لم تتعرض للأمواج الميكروية في عينة البحث، وذلك وفقاً للملون المدروس.

دلالة الفروق	قيمة مستوى الدلالة	الخطأ المعياري للفرق	الفرق بين المتوسطين	درجات الحرية	قيمة t المحسوبة	الملون المدروس
**	0.000	1.326	11.453	14	8.638	Ki67
**	0.000	2.175	18.985	14	8.728	VEGF

يُلاحظ في الجدول السابق رقم (4) أنَّ قيمة مستوى الدلالة بالنسبة لكلا الملؤنين المدروسين (Ki67 و VEGF) أصغر بكثيرٍ من القيمة 0.05، أي أنه عند مستوى النسبة 95% توجد فروق ذات دلالة إحصائية في قيم مقدار نسبة إيجابية الخلايا بين مجموعة الأرانب التي تعرضت للأمواج الميكروية ومجموعة الأرانب التي لم تتعرض للأمواج الميكروية في عينة البحث. ركّزت معظم الدراسات التجريبية المفاجأة على الغدد اللعابية، رغم اختلاف أنواعها، على الملؤنات التقليدية (الهياماتوكسلين والإيوزين)، كما في دراسة Aydogan وزملاهه (Aydogan, Unlu et al. 2015).

حيث استنتج Aydogan أنَّ التعرض للأمواج الميكروية الصادرة عن جهاز من الجيل الثالث يعمل عند التردد 2100 ميغا هيرتز أدى إلى تغييرات مرضية نسيجية في بنية الغدة النكفية عند الجرذان، وتمثلت هذه التغييرات في كلِّ من: الخلايا الظهارية، النسيج الضام، المسافات الخلالية، الجهاز القنوي، الجهاز الوعائي، حجم الأنوية، والفجوات في السبيتوبلازما (Aydogan, Unlu et al. 2015).

دعمت الدراسات السابقة التي اهتمت بالتأثير غير الحراري للأمواج الميكروية نظرية زيادة شدة الأكسدة أو زيادة الإجهاد التأكسدي الحاصل في النسيج المعرض للأمواج الميكروية، ومن هذه الدراسات دراسة Akdag وزملاهه (Akdag, Dasdag et al. 2018). حيث افترض الباحثون أنَّ التعرض لهذه الأمواج يؤدي إلى زيادة مستويات الجذور الحرة، وبما أنها مركبات غير مستقرة كيميائياً، فإنَّها تسعى بأي طريقة للاستقرار ولكن عن طريق سرقة الإلكترونات وليس مشاركتها، وبالتالي فإنَّها عندما تهاجم أي جزءٍ مستقرٍ وتسرق أحد الإلكترونات منه، فإنَّ الجزء نفسه يصبح جذراً حرّاً وبالتالي يهاجم جزئاً آخر مستقراً، وهذا يتبع سلسلة من التفاعلات السلبية والتي تسبّب اضطراباً في التوازن بين الجذور الحرّة ومضادات الأكسدة وتؤدي وبالتالي إلى تلف الخلايا (Akdag, Dasdag et al. 2018).

لذلك استخدمت هذه الدراسات أنواعاً مختلفةً من مضادات الأكسدة، مثل دراسة Anan وزملاهه (Anan, Gawish et al. 2012) حيث استخدم فيتامين E، واستنتاج في بحثه أنَّ التعرض للأمواج الميكروية أدى إلى تغييراتٍ تراجعتيةٍ مشابهةٍ للتغييرات في دراسة Filiz، ولكنه لاحظ أنَّ هذه التغييرات تراجعت عندما حُفنت الجرذان بـ فيتامين E (Anan, Gawish et al. 2012).

وفي سياقٍ آخر، أجريت دراساتٍ كيميائيةٍ درست معدّل التدفق الوعائي، دراسة Goldwein and Goldwein and (Aframian 2010). حيث استنتج أنَّ التعرض يؤدي إلى زيادة التدفق الوعائي، ولكن كانت هذه الزيادة منخفضةً في الإفراز البروتيني كانعكسٍ للضرر المستمر والتراكمي في الغدد.

وبذلك تكون نتائج Goldwein قد توافقت مع نتائج Shivashankara وزملائه والذي لاحظ انخفاضاً في تراكيز الأنزيمات *اللعا比ّة وخصوصاً أنزيم malondialdehyd (MDA)* الذي يؤدي دوراً مهماً في رد الفعل تجاه فرط الأكسجة. (Shivashankara, Joy et al. 2015)

وُفقَ مراجعة منشورات الأدب الطبي حتى تاريخ إنجاز هذا البحث، لم يوجد إلا دراسة كيميائية مناعية واحدة - دراسة *Helal* وزملائه - استخدمت المُشرِّع *Ki67* في الدراسة النسيجية المناعية لدراسة تأثيرات الهاتف الجوال على الغدة النكفية. (Helal and Abdelrahman 2012).

حيث قام *Helal* بتعريف 25 ذكراً من خذارين غينيا للأمواج الميكروية ذات التردد 900 ميجا هيرتز، وقد قسم هذا التعريف إلى حادٍ ومزمن. حيث كان التعريف الحاد يُجرى لمدة ساعتين يومياً لمدة ثلاثة أشهر، أما التعريف المزمن فكان يُجرى لمدة ساعتين أسبوعياً لنفس المدة أي ثلاثة أشهر.

وبعد انتهاء فترة التعريف جمعت عينات من الغدة النكفية تحت الفك من نفس جهة التعرض، ودرست تعبيرية الملون *Ki67*، وكان الاستنتاج أنَّ هنالك زيادة تدريجية في تعبيرية *Ki67* مُرتبطةً بزيادة فترة التعرض. وأنَّ التعرض للأمواج الميكروية له آثار تکاثرية في النسيج الغدي العنبي.

تقارير نتائج هذه الدراسة مع دراسة *Helal* من حيث الفروق الدالة إحصائياً، رغم اختلاف حجم العينة واختلاف فترة التعريف.

حيث أشارت نتائج هذه الدراسة إلى ارتفاع تعبيرية هذا المُشرِّع في خلايا النسيج الغدي، وهذا يشير إلى زيادة قدرة وقابلية الخلايا على التضاعف والانقسام استجابةً للضرر الحاصل الذي فسر على أساس نظرية الإجهاد التأكسدي.

لوحظ في هذه الدراسة أيضاً ارتفاع تعبيرية *VEGF* في النسيج الضام للغدة النكفية عند الأرانب التي تعرضت لإشعاع الهواتف الجوال مقارنةً بالأرانب في المجموعة الشاهدة.

قد تكون زيادة تعبيرية *VEGF* التي لوحظت ناجمةً عن زيادة إفراز هذا العامل في محاولةً للمعاوضة عن نقص الأكسجة ونقص الوارد الغذائي الذي يزود النسيج الغدي النشط في إفراز اللعاب، حيث يؤدي عامل التنشئ الوعائي البطاني دوره في تعزيز تشكُّل الأوعية الرديفة ويزيد من نفوذية الجملة الوعائية المجهرية.

## 5- الاستنتاجات والتوصيات:

يُستنتج ضمن حدود هذه الدراسة أنَّ التعرض لإشعاع الأمواج الميكروية الصادرة عن الهاتف الجوال من الجيل الثالث أدى إلى:

- زيادة الفعالية الانقسامية في الغدة النكفية، كاستجابةً للضرر الحاصل في التركيب النسيجي لها.
- زيادة استحداث الأوعية الدموية في الغدة النكفية، كاستجابةً للضرر الحاصل في التركيب النسيجي لها.
- يمكن أن يُستنتج من هذه الدراسة أنَّ هذين العاملين (*VEGF* و *Ki67*) يقومان بدورهما في الحفاظ على استقرار النسيج الغدي للغدة النكفية بعد تعرُّضها لإشعاع الهواتف الجوال.

لذاك يوصى بالاتي:

- نشر الوعي بين مستعملي الهواتف الجواله بخطورة الاستعمال المتأخر لزمن طويل.
- استخدام ملونات مناعية أخرى لفهم الدقيق للأذية التنسجية الحاصلة في بنية الغدة النكفية.
- إجراء دراسة وابائيه شاملة في سوريا على غرار الدول الأخرى، لفهم العلاقة بين أورام الغدد النكفية واستعمال الهاتف الجوال.
- إجراء دراسة طويلة الأمد على حيوانات التجربة تحاكي مدة استخدام الفرد العادي للهاتف الجوال لتحري تأثير الإشعاع الميكروي ضمن هذه الفترة.

- 6- المراجع العلمية:

1. Akdag, M., Dasdag, S., Canturk, F. and Akdag, M.Z., (2018). Exposure to non-ionizing electromagnetic fields emitted from mobile phones induced DNA damage in human ear canal hair follicle cells. *Electromagnetic biology and Medicine*, 37(2): 66–75.
2. Allison, R. R. (2013). The electromagnetic spectrum, current and future applications in oncology. *Future Oncology*, 9(5): 657–667.
3. Anan, H.H., Gawish, M.F., Amer, M.G. and Ibrahim, N.E., (2012). Effects of low magnetic irradiation on morphology and ultrastructure of parotid glands in rats and amelioration by vitamin E. *J Cytol Histol*, 3: 139.
4. Aydogan, F., Aydin, E., Koca, G., Ozgür, E., Atilla, P., Tüzüner, A., Demirci, Ş., Tomruk, A., Öztürk, G.G., Seyhan, N. and Korkmaz, M., (2015). The effects of 2100-MHz radiofrequency radiation on nasal mucosa and mucociliary clearance in rats. *International forum of allergy & rhinology*, 5(7): 626–632
5. Aydogan, F., Unlu, İ., Aydin, E., Yumusak, N., Devrim, E., Samim, E.E., Ozgur, E., Unsal, V., Tomruk, A., Ozturk, G.G. and Seyhan, N. (2015). The effect of 2100 MHz radiofrequency radiation of a 3G mobile phone on the parotid gland of rats. *American journal of otolaryngology*, 36(1): 39–46.
6. Dabrowski, M.P., Stankiewicz, W., Kubacki, R., Sobiczevska, E. and Szmigelski, S., 2003. Immunotropic Effects in Cultured Human Blood Mononuclear Cells Pre-exposed to Low-Level 1300 MHz Pulse-Modulated Microwave Field. *Electromagnetic Biology and Medicine*, 22(1): 1–13.
7. Di Ciaula, A., (2018). Towards 5G communication systems, Are there health implications?. *International journal of hygiene and environmental health*, 221(3): 367–375.
8. Djindjic, B., Radic, S., Krstic, D., Sokolovic, D., Pavlovic, T., Petkovic, D., Radosavljevic, J., (2003) Exposure to electromagnetic field by using mobile telephones and its influence on the brain functions, 2(4): 311–316.

9. Dogan, M., Turtay, M.G., Oguzturk, H., Samdanci, E., Turkoz, Y., Tasdemir, S., Alkan, A. and Bakir, S., (2012). Effects of electromagnetic radiation produced by 3G mobile phones on rat brains, magnetic resonance spectroscopy, biochemical, and histopathological evaluation. *Human & experimental toxicology*, 31(6): 557–564.
10. Erdemli, C., Omeroglu, S., Sirav, B., Colbay, M., Seyhan, N., Ozkan, S. and Yetkin, I., (2017). Effects of 2100 MHz radio frequency radiation on ductus epididymis tissue in rats. *Bratislavské lekarske listy*, 118(12): 759–764.
11. Ferrara, N. (2004). Vascular endothelial growth factor, basic science and clinical progress. *Endocrine reviews*, 25(4): 581–611.
12. Fu, D., Li, P., Cheng, W., Tian, F., Xu, X., Yi, X., Tang, C., Wang, Y., Hu, Q. and Zhang, Z., (2017). Impact of vascular endothelial growth factor gene–gene and gene–smoking interaction and haplotype combination on bladder cancer risk in Chinese population. *Oncotarget*, 8(14): 22927.
13. Ghatei, N., Nabavi, A.S., Toosi, M.H.B., Azimian, H., Homayoun, M., Targhi, R.G. and Haghiri, H., (2017). Evaluation of bax, bcl-2, p21 and p53 genes expression variations on cerebellum of BALB/c mice before and after birth under mobile phone radiation exposure. *Iranian journal of basic medical sciences*, 20(9): 1037.
14. Goldwein, O. and D. Aframian (2010). The influence of handheld mobile phones on human parotid gland secretion. *Oral diseases*, 16(2): 146–150.
15. Hardell, L., Hallquist, A., Mild, K.H., Carlberg, M., Gertzen, H., Schildt, E.B. and Dahlqvist, Å., (2004). No association between the use of cellular or cordless telephones and salivary gland tumours. *Occupational and environmental medicine*, 61(8): 675–679.
16. Helal, M. and M. Abdelrahman (2012). Ki-67 Expression on Major salivary Gland Exposed to Mobile Cell phoneradiation. *Egyptian dental journal*, 58(3).
17. Kesari, K.K., Kumar, S. and Behari, J., (2011). 900–MHz microwave radiation promotes oxidation in rat brain. *Electromagnetic biology and Medicine*, 30(4): 219–234.
18. Levis, A.G., Minicuci, N., Ricci, P., Gennaro, V. and Garbisu, S., (2011). Mobile phones and head tumours. The discrepancies in cause–effect relationships in the epidemiological studies–how do they arise? *Environmental Health*, 10(1): 59.
19. Johansen, C. (2004). Electromagnetic fields and health effects—epidemiologic studies of cancer, diseases of the central nervous system and arrhythmia related heart disease. *Scandinavian journal of work, environment & health*, 1–30.
20. Li, L.T., Jiang, G., Chen, Q. and Zheng, J.N., (2015). Ki67 is a promising molecular target in the diagnosis of cancer. *Molecular medicine reports*, 11(3): 1566–1572.

21. Mortazavi, S.M.J., Owji, S.M., Shojaei-Fard, M.B., Ghader-Panah, M., Mortazavi, S.A.R., Tavakoli-Golpayegani, A., Haghani, M., Taeb, S., Shokrpour, N. and Koohi, O., (2016). GSM 900 MHz Microwave Radiation-Induced Alterations of Insulin Level and Histopathological Changes of Liver and Pancreas in Rat. *Journal of biomedical physics & engineering*, 6(4): 235.
22. Nanci, A. (2017). Ten Cate's Oral Histology-E-Book, Development, Structure, and Function, chapter 11, PP: 253–278.
23. World Health Organization. (1998). The International EMF Project, health effects of static and time varying electric and magnetic fields, progress report 1998–1999, Geneva, World Health Organization.
24. Rafiee, P., Heidemann, J., Ogawa, H., Johnson, N.A., Fisher, P.J., Li, M.S., Otterson, M.F., Johnson, C.P. and Binion, D.G., (2004). Cyclosporin A differentially inhibits multiple steps in VEGF induced angiogenesis in human microvascular endothelial cells through altered intracellular signaling. *Cell Communication and Signaling*, 2(1): 3.
25. Röösli, M., Frei, P., Mohler, E. and Hug, K., (2010). Systematic review on the health effects of exposure to radiofrequency electromagnetic fields from mobile phone base stations. *Bulletin of the World Health Organization*, 88: 887–896.
26. Rosado, M.M., Nasta, F., Prisco, M.G., Lovisolo, G.A., Marino, C. and Pioli, C., (2014). Effects of GSM-modulated 900 MHz radiofrequency electromagnetic fields on the hematopoietic potential of mouse bone marrow cells. *Bioelectromagnetics*, 35(8): 559–567.
27. Sadetzki, S., Chetrit, A., Jarus-Hakak, A., Cardis, E., Deutch, Y., Duvdevani, S., Zultan, A., Novikov, I., Freedman, L. and Wolf, M., (2007). Cellular phone use and risk of benign and malignant parotid gland tumors—a nationwide case-control study. *American journal of epidemiology*, 167(4): 457–467.
28. Savopol, T., Moraru, R., Dinu, A., Kovács, E. and Sajin, G., 1995. Membrane Damage of Human Red Blood Cells Induced by Low-Power Microwave Irradiation. *Electro-and Magnetobiology*, 14(2): 99–105.
29. Paulraj, R. and Behari, J., 2002. The effect of low level continuous 2.45 GHz waves on enzymes of developing rat brain. *Electromagnetic biology and Medicine*, 21(3): 221–231.
30. Scholzen, T. and J. Gerdes (2000). The Ki-67 protein, from the known and the unknown. *Journal of cellular physiology*, 182(3): 311–322.
31. Shivashankara, A.R., Joy, J., Sunitha, V., Rai, M.P., Rao, S., Nambranathayil, S. and Baliga, M.S., (2015). Effect of cell phone use on salivary total protein, enzymes and

- oxidative stress markers in young adults, a pilot study. Journal of clinical and diagnostic research, JCDR, 9(2): 19.
32. Sobecki, M., Mrouj, K., Camasses, A., Parisis, N., Nicolas, E., Lleres, D., Gerbe, F., Prieto, S., Krasinska, L., David, A. and Eguren, M., (2016). The cell proliferation antigen Ki-67 organises heterochromatin. Elife 5, 7(5): 137.
33. Söderqvist, F., Carlberg, M. and Hardell, L., (2012). Use of wireless phones and the risk of salivary gland tumours, a case-control study. European Journal of Cancer Prevention, 21(6): 576–579.